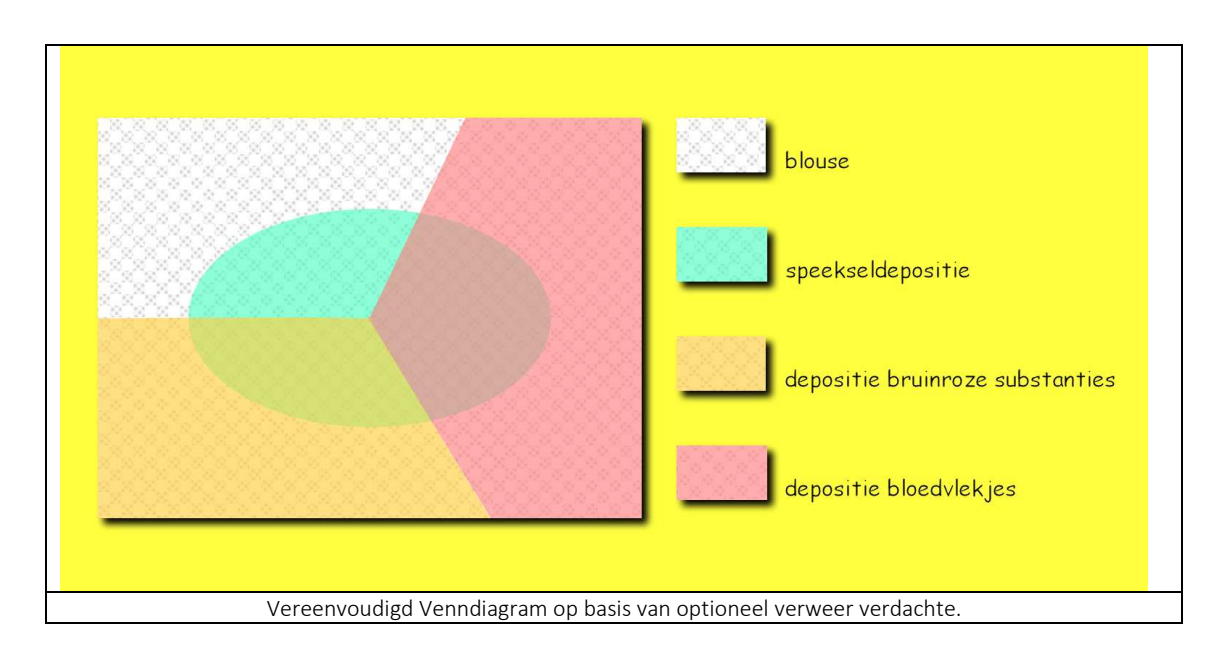
DNA-sporen in de Deventer Moordzaak

Demo - 19 december 2016



1.	. De r	nulhypothese	
	De speekseldepositie (S)		
	Bloedvlekjes (B)		
		Sterkte spoor #10	
		Het uiterlijk van spoor #10	
		ntrode vlekken (V)	
	4.1.	Spoor #18	17
5.	DNA	DNA sporen nagels	
7.	Slot	Slotbeschouwing	
Q	Not	Noten	

1. De nulhypothese

Hier gaan we uit van een optimaal verweer, gevoerd namens de verdachte, gebruikmakend van beschikbare bewijsmiddelen en - bij het ontbreken ervan¹ - van later via openbare bronnen gevoerd verweer.

2. De speekseldepositie (S)

Op 23 september 1999 heeft verdachte indringend gesproken met het latere slachtoffer omtrent zijn rol als executeur-testamentair betrekking hebbend op de omgang met haar stoffelijk overschot (n.a.v. het afhalen van de zogenaamde grafbrief). Hierbij zal de verdachte zich samen met het slachtoffer gebogen hebben over deze brief terwijl zij hierover spraken. Dit moet geleid hebben tot - wederzijdse - speekseldepositie. ²

Deze speekseldepositie is in dat geval geconcentreerd rond de hals van het slachtoffer.³

Van deze veronderstelde speekseldepositie zijn sporen te vinden in de vorm van onder een crime-scope oplichtende vlekken. Dit betreft de vlekken #1, #7, #8, #12 en #13, welke op het kwadrant rechtsboven van de blouse zijn aangetroffen. Deze bevonden zich op een 'neutrale' achtergrond. Voorts werden kleine oplichtende vlekken op het achterpand aangetroffen. Deze laatste sporen zijn door het NFI expliciet aangeduid als nietdelict-gerelateerd. Tegelijkertijd zijn ze niet onderzocht, waarmee het principe van onschuldpresumptie duidelijk werd geschonden. Ook in herhaald DNA-onderzoek in 2006 en 2007 werd verzuimd de gelegenheid aan te grijpen deze sporen te onderzoeken.

Toch schreef dr. A Kloosterman op 8 november 2006 namens een NFI-collectief⁵ aan Mr. H. van der Meijden, Officier van Justitie van het Landelijk Parket:

Positie oplichtende sporen met DNA van de verdachte (gevuld lichtblauw) vergeleken met overige sporen.

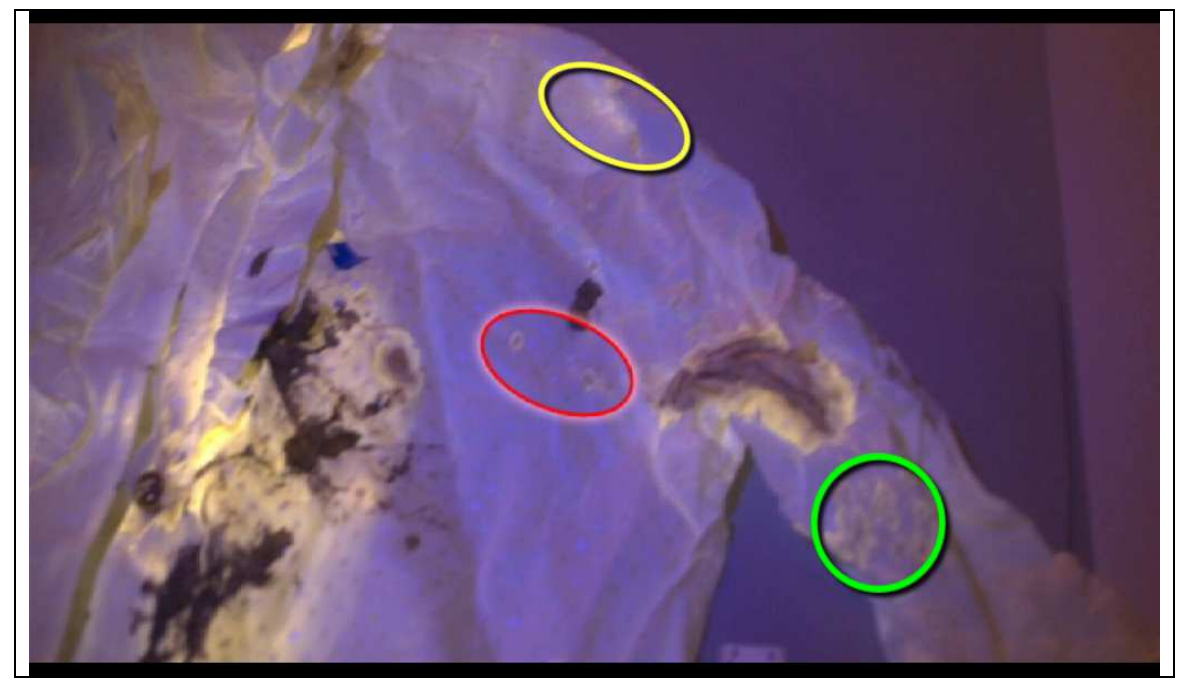
"Eventuele vlekken op de blouse zullen onder andere met een forensische lichtbron (crimescope) worden gedetecteerd. Bovendien zal de blouse bij daglicht uitgebreid worden onderzocht op de aanwezigheid van vlekken die niet eerder zijn onderzocht.

Hierbij zullen tevens niet eerder bemonsterde regionen (zoals de mouwen en het rugpand) op de blouse aan een nauwgezet onderzoek worden onderworpen."

En daarvan is nooit meer iets vernomen.

Een op 20 november 2013 (sic) in een praatprogramma van NPO1 (sic) getoonde foto van de blouse onder 'blauw' licht laat oplichtende sporen op de linker schouder zien, die nooit zijn onderzocht. De bij die gelegenheid door ing. Eikelenboom aangewezen sporen werden overigens ook nooit onderzocht (contra de bewering van dezelfde deskundige ing. Eikelenboom in genoemd programma).

De logica veronderstelt, dat ook de andere sectoren van de blouse op soortgelijke wijze zijn gefotografeerd. Hierop kunnen de overige eventueel niet onderzochte sporen worden aangewezen.



Linker voorpand blouse onder 'blauw' licht, als getoond bij Pauw en Witteman. In de gele ovaal drie oplichtende sporen, die nooit werden onderzocht. De door ing. Eikelenboom aangeduide sporen van de verdachte in de rode ovaal werden ook nooit onderzocht.

De groene ovaal komt verderop ter sprake.

Daarnaast kunnen er sporen gedeponeerd zijn in de overlapzones met de twee overige deposities, B en V. Deze worden in de volgende paragrafen besproken.

3. Bloedvlekjes (B)

Er zijn vele minuscule bloedvlekjes gevonden met vreemde verschijningsvorm, die zich niet laten herleiden tot zogenaamde passieve bloeddruppels.



Links alle bloedsporen die wel op de NFI-foto's 2003 kunnen worden nagewezen, maar afwezig zijn op de foto's plaats delict op 25 september 1999. Rechts de bloedsporen op de binnenzijde van het rugpand, die niet kunnen worden gerelateerd aan aanwezige verwondingen, maar soms wel in sterke mate aan diverse bloedsporen op de voorzijde van de blouse.⁷

Op de voorzijde van de blouse betreft het 19 stuks, die tijdens de eerste vondst van het slachtoffer nog niet werden aangetroffen. Dit zijn noodzakelijkerwijs secundaire bloeddeposities. Doordat de primaire bloeddeposities plaatsvonden op een ondergrond van cellulose (katoen en viscose), zijn deze secundaire deposities DNA-arm. De voordat de primaire bloeddeposities DNA-arm.



Links: Onmiddellijk na aantreffen van het slachtoffer kwamen een twee nieuwe grote bloedvlekken 'vrij', die vermoedelijk verantwoordelijk zijn geweest voor het verspreiden van vele kleine bloedvlekken op onverwachte plekken.

Rechts: Positie sporen #10 en #42 met DNA van de verdachte.

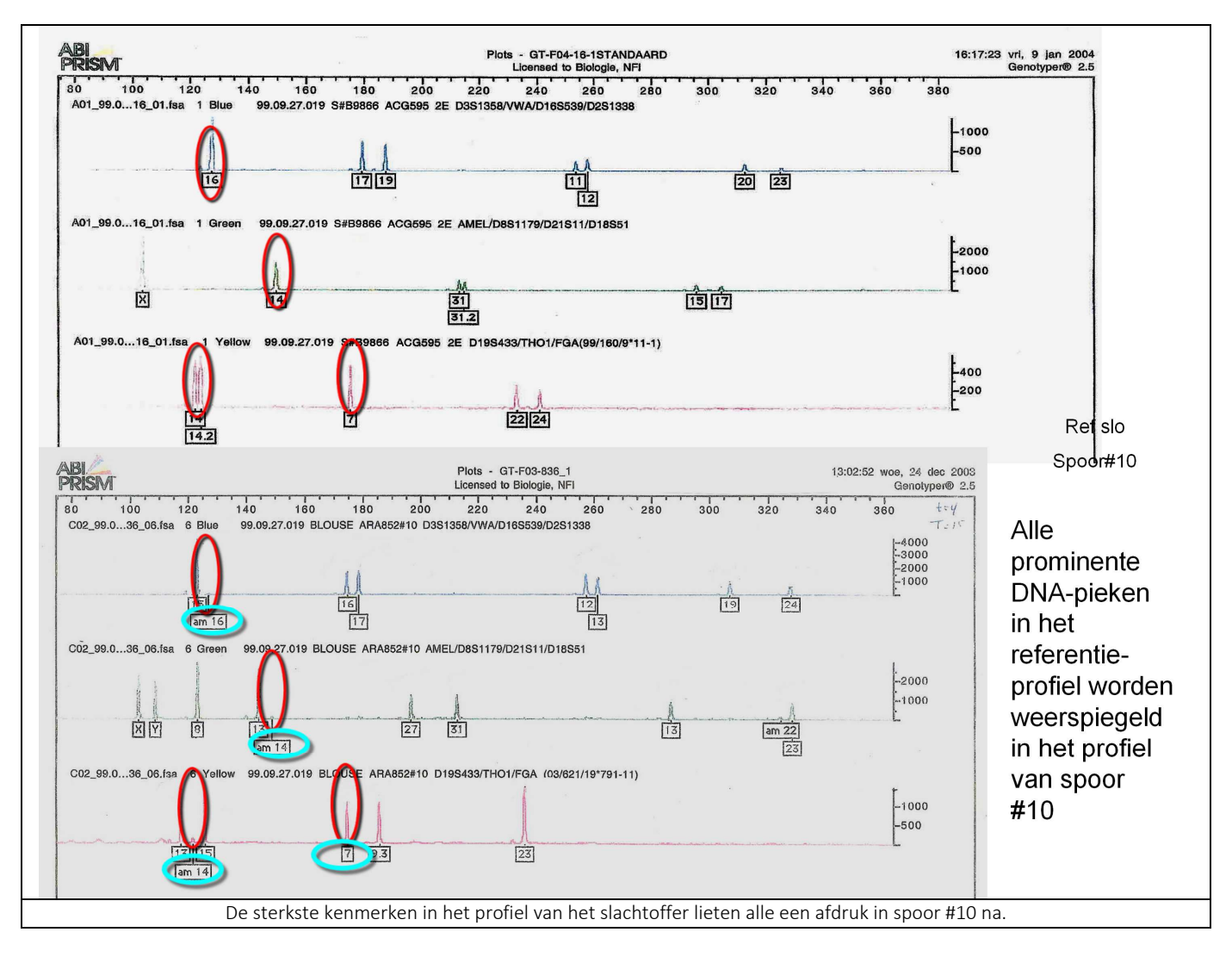
Ook op het achterpand werden dergelijke bloeddeposities aangetroffen (10). Deze kunnen niet herleid worden tot verwondingen van het slachtoffer, dat geen verwondingen aan de rug had opgelopen. Zij kunnen wel herleid worden tot secundaire overdrachten van deposities op de voorzijde van de blouse.

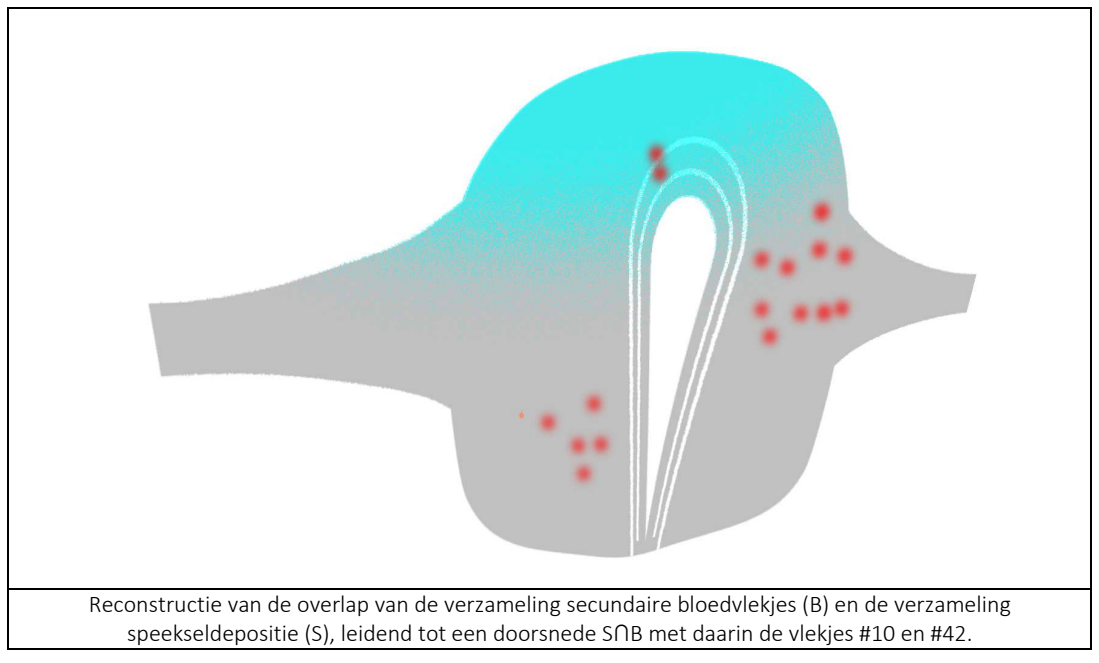
In de nulhypothese behoren de - zichtbare - sporen #10 en #42 tot deze groep. 10

Overigens is nergens expliciet vastgelegd of er rond de bloedsporen crime-scope-signalen zijn waargenomen. De hierboven gereproduceerde foto van 'Pauw en Witteman' laat zien, dat er bloedsporen zichtbaar zijn, die volledig donker kleuren en dat er bloedsporen zijn, die omgeven zijn door een oplichtende zone.

In de overlap tussen de zone van speekseldepositie en de aanwezigheid van de kleine bloedvlekjes (in principe zitten die overal) bestaat dus de kans sporen aan te treffen, die een bloedvlekje tonen en DNA van speeksel bevatten.

Spoor #10 is uitvoerig onderzocht en voldoet aan alle karakteristieken van een dergelijk spoor: een duidelijk DNA-profiel van de verdachte en een aantal zwakke pieken, die overeenstemmen met het DNA-profiel van het slachtoffer. Gezien de zwakte van het bloedspoor is de zwakte van de pieken van het slachtoffer goed hiermee in overeenstemming. ¹¹

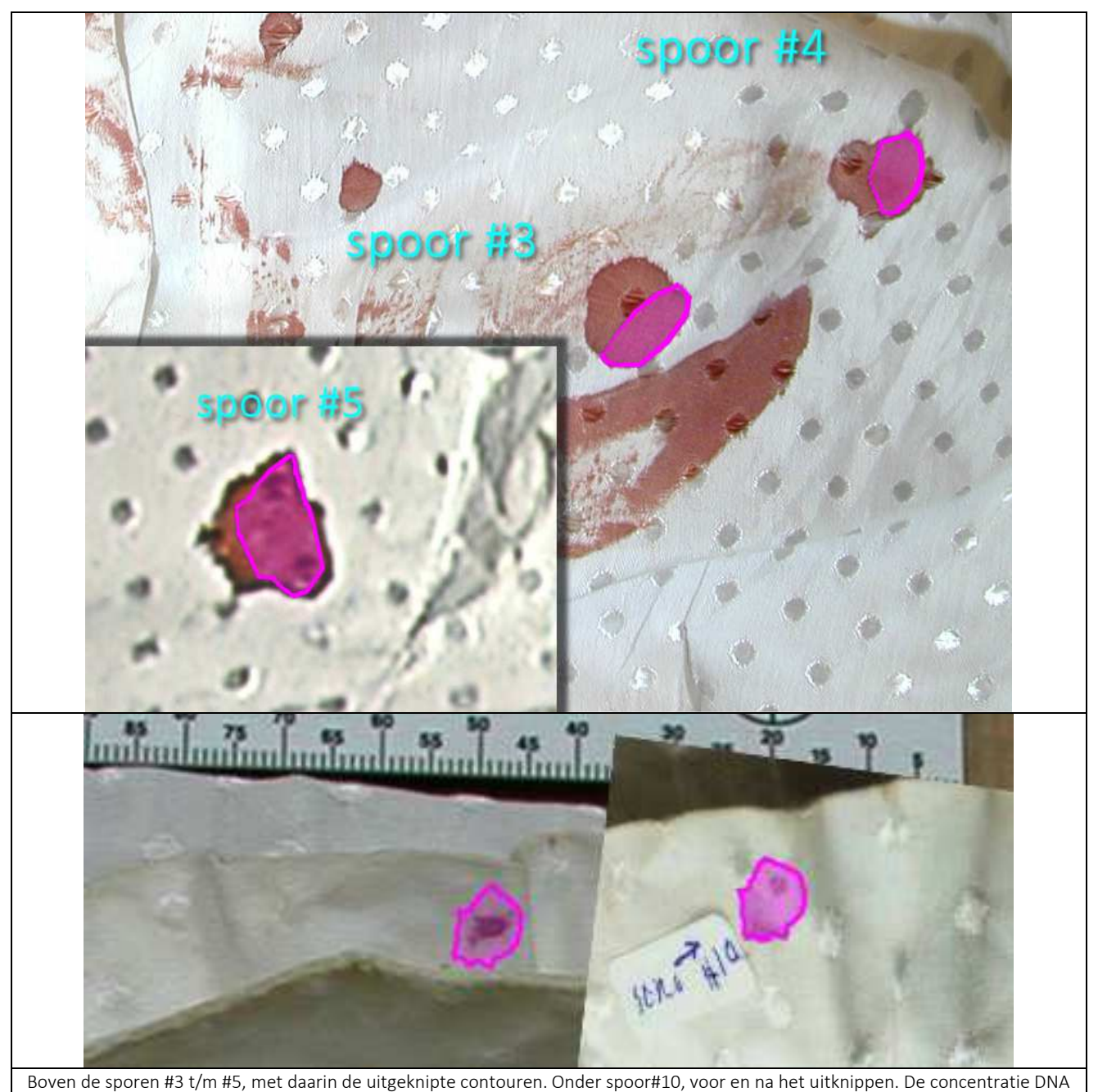




3.1. Sterkte spoor #10

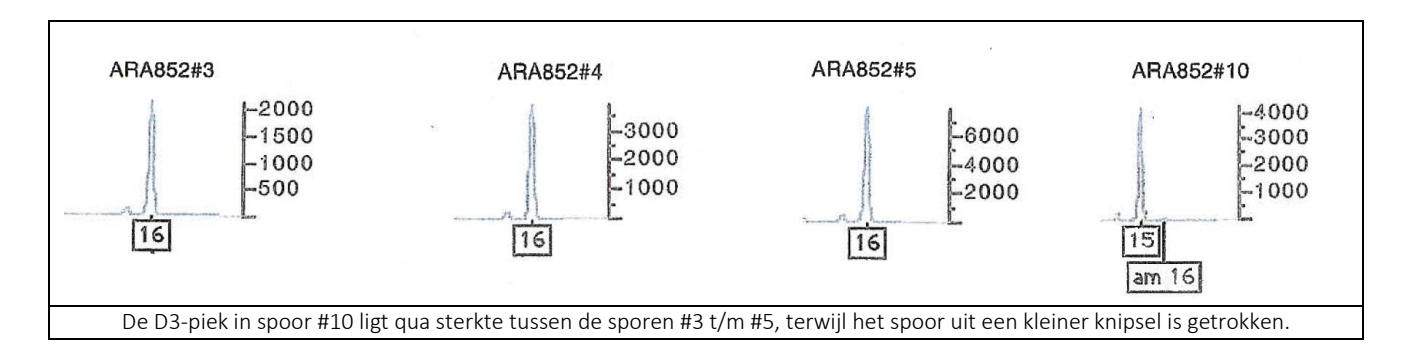
Om die laatste constatering kracht bij te zetten volgt nu een analyse van de sterkte van spoor #10. Hiertoe wordt spoor #10 vergeleken met de sporen#3, #4 en #5. De sporen #3, #4 en #5 zijn

volledig toegeschreven aan het slachtoffer en overduidelijk gevormd door passieve bloeddruppels, ontstaan tijdens de uitvoering van het delict. Deze sporen bevatten dus een volledige afspiegeling van het bloed van het slachtoffer, inclusief witte bloedcellen (die het DNA bevatten). De foto's maken het mogelijk ze precies te schalen, doordat linialen zijn toegevoegd en omdat uit het gezamenlijk fotomateriaal valt af te leiden, dat de stippen op de blouse precies 1,25 cm van elkaar verwijderd zijn. Met behulp van een fotoprogramma is het mogelijk de afmetingen van de uitgeknipte monsters exact (op pixelniveau) te bepalen en om te rekenen in decimale eenheden: uit spoor #10 is 0,50 cm² weggeknipt en uit de sporen #3 t/m #5 van 0,99 tot 1,63 cm². Ook kan op deze wijze bepaald worden hoe groot het bloedvlekje is in spoor #10: 14% van het uitgeknipte monster. Voor de sporen #3 t/m #5 ligt deze waarde uiteraard op 100%.

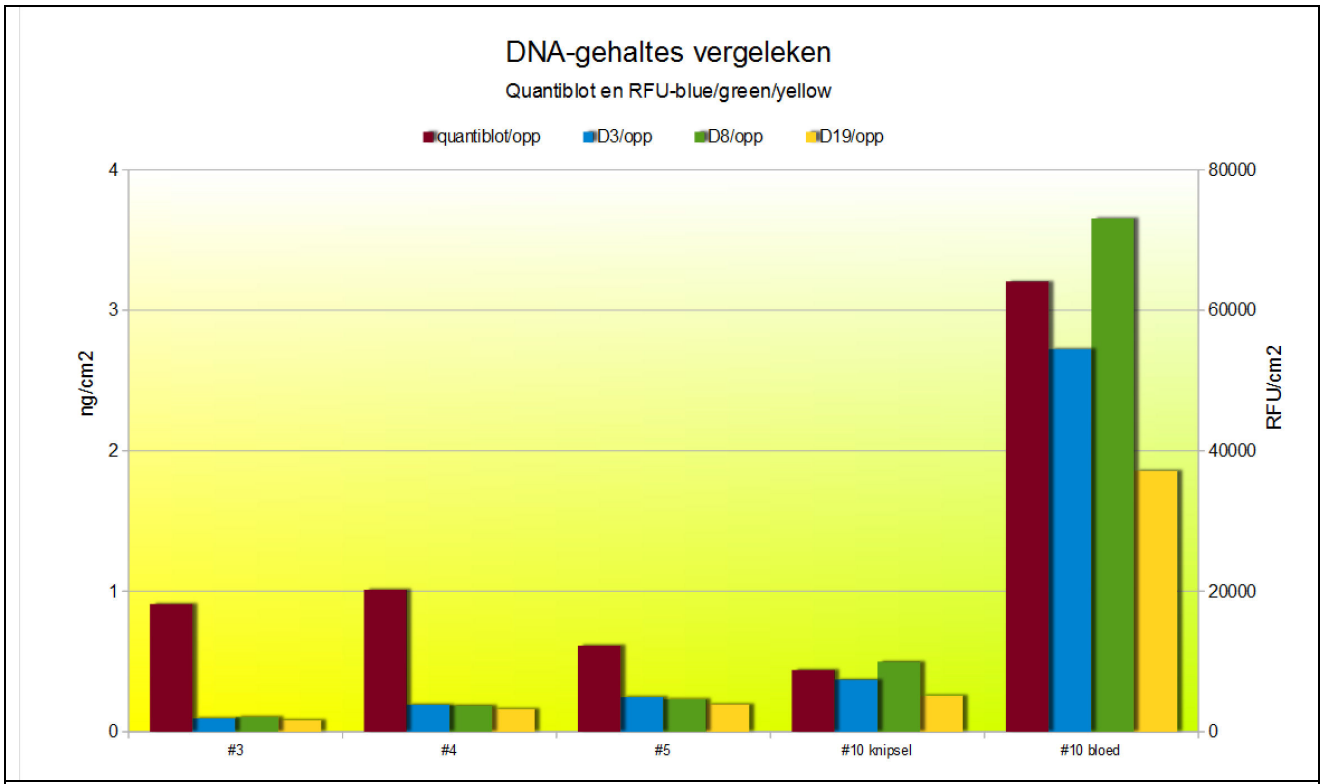


De betrokken monsters zijn door het NFI geëxtraheerd met behulp van Chelex en vervolgens gekwantificeerd (vermoedelijk met Quantiblot): spoor#10 bevatte nu 0,25 ng/ μ L en de sporen #3 t/m #5 1,00 ng/ μ L. De nauwkeurigheid is uiteraard beperkt omdat Quantiblot met een beperkt aantal categorieën werkt.

is binnen de getoonde contouren van dezelfde orde van grootte.

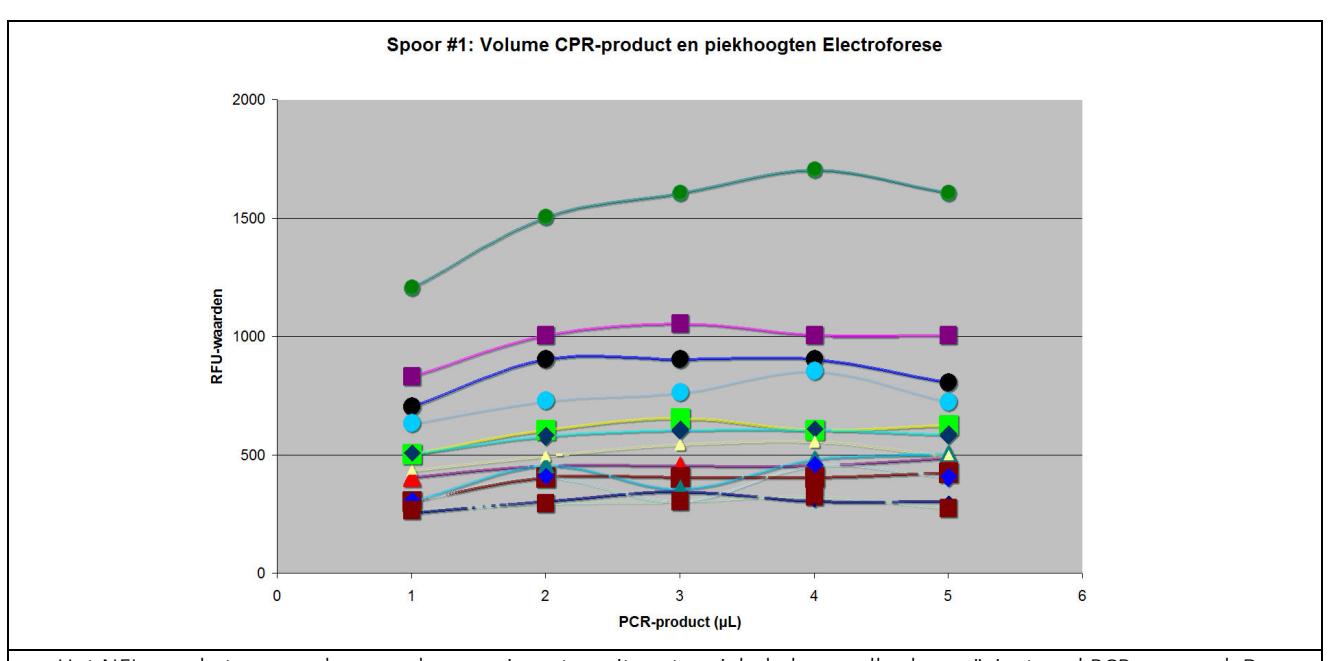


Ook kan gekeken worden naar het uiteindelijke resultaat na PCR en CE. Nu zijn de sporen in principe onvergelijkbaar, want de sporen #3 t/m #5 stammen voor 100% van het slachtoffer en spoor #10 volgens de gehanteerde hypothese voor 90%+ van Louwes. Locatie D3 heeft echter in beide profielen het duidelijkste spoor, dat ook nog eens in beide gevallen homozygoot is. Daarnaast zijn de betrokken allelen onmiddellijk naburig, dus goed vergelijkbaar (de peak height ratio PHR ligt in onderzoeken boven de 90%). Ook andere loci zijn op soortgelijke wijze vergeleken.

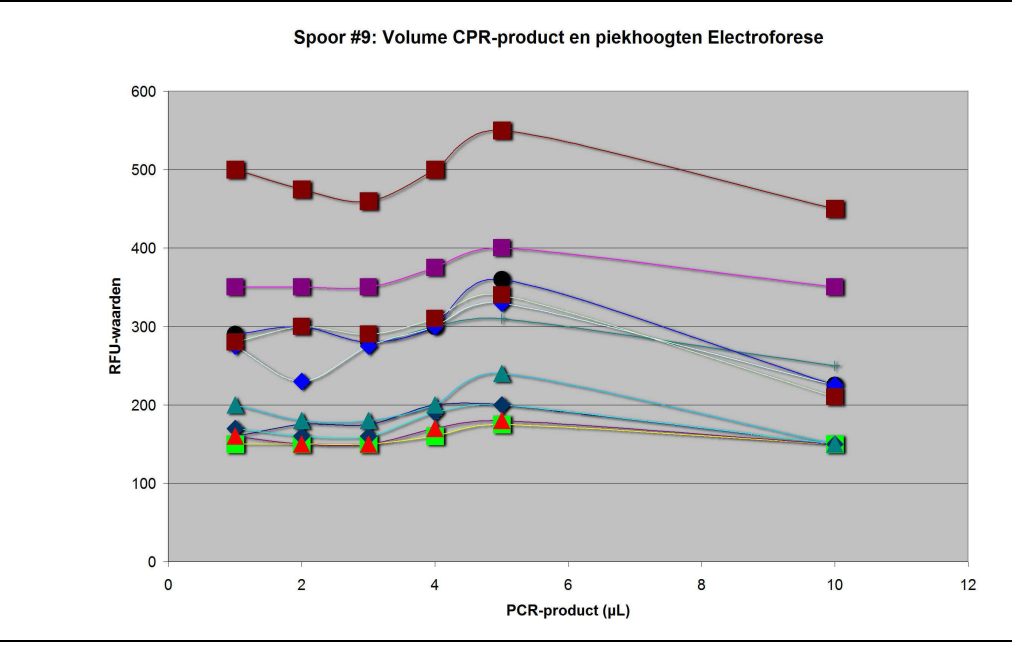


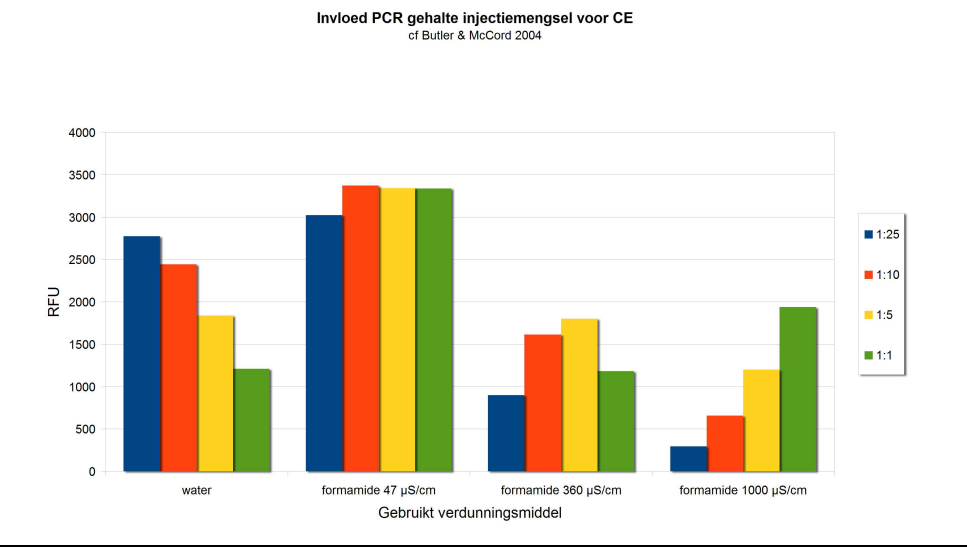
Als de DNA-concentraties van de *knipsels* #3, #4 #5 en #10 worden vergeleken, vallen ze alle in dezelfde orde van grootte. Wordt er vanuit gegaan, dat het DNA in spoor #10 - alleen - uit het *bloedvlekje* komt, dan schiet het DNA-gehalte helemaal van de schaal en neemt het onrealistisch hoge waarden aan.

Van de sporen #3, #4 en #5 werd 1 μ L in de injectieruimte gebracht, van spoor #10 4 μ L. Volgens Butler ¹² verandert de verhoging van het geïnjecteerde PCR-volume weinig aan het resultaat van de CE, immers wordt de hoeveelheid opgenomen DNA allereerst bepaald door de hoeveelheid verplaatste lading, en die was in alle metingen in principe hetzelfde (zelfde potentiaalverschil en zelfde injectietijd). Ook een aantal experimenten van het NFI zelf lijkt hierop te wijzen. In één geval nam de waarde van de piek op D3 toe met 25% bij de toename van 1 μ L tot 4 μ L, in drie andere gevallen minder.



Het NFI voerde tweemaal een reeks experimenten uit met variabele hoeveelheden geïnjecteerd PCR-mengsel. De variatie in piekhoogten is sterk beperkt en niet eenduidig.

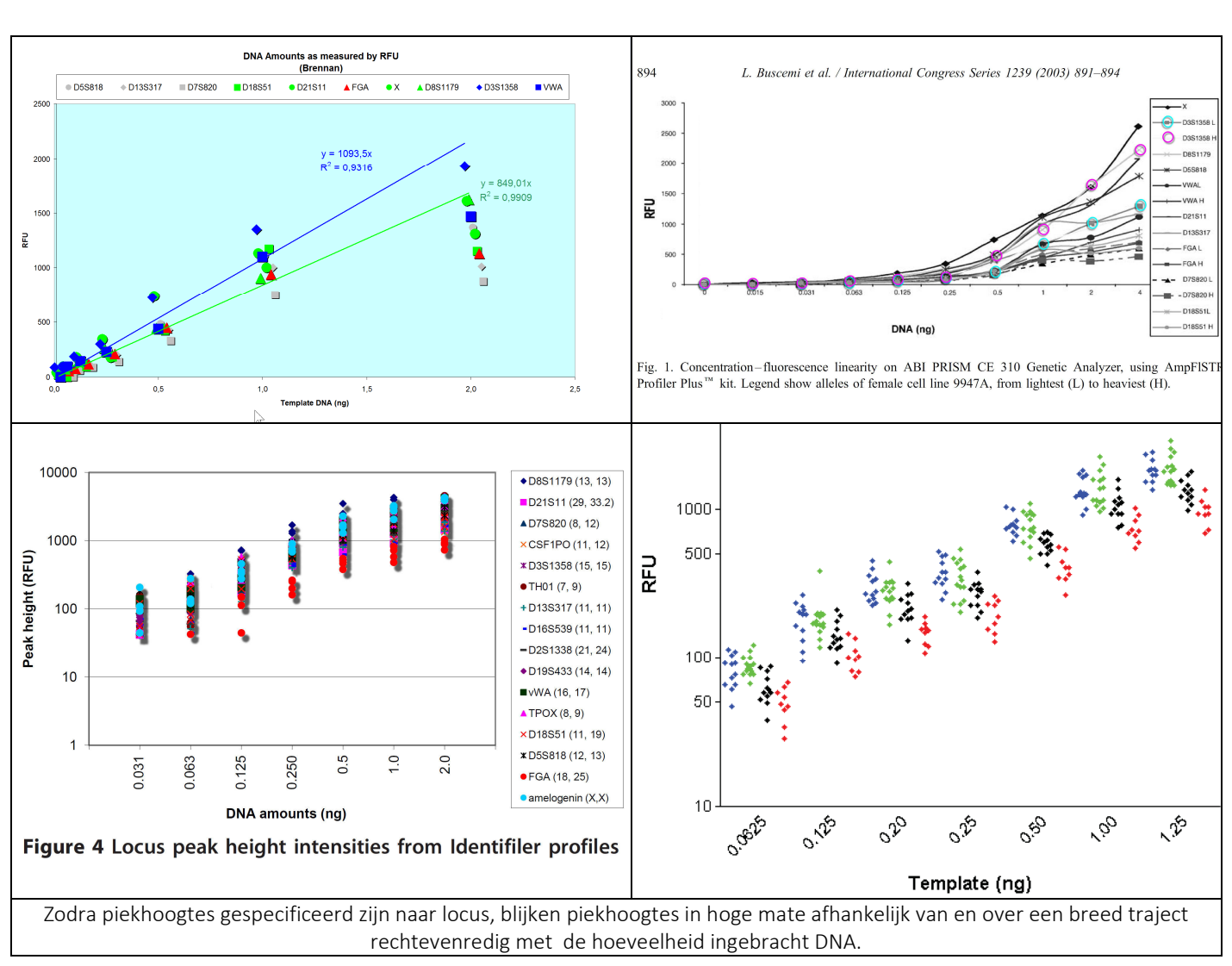


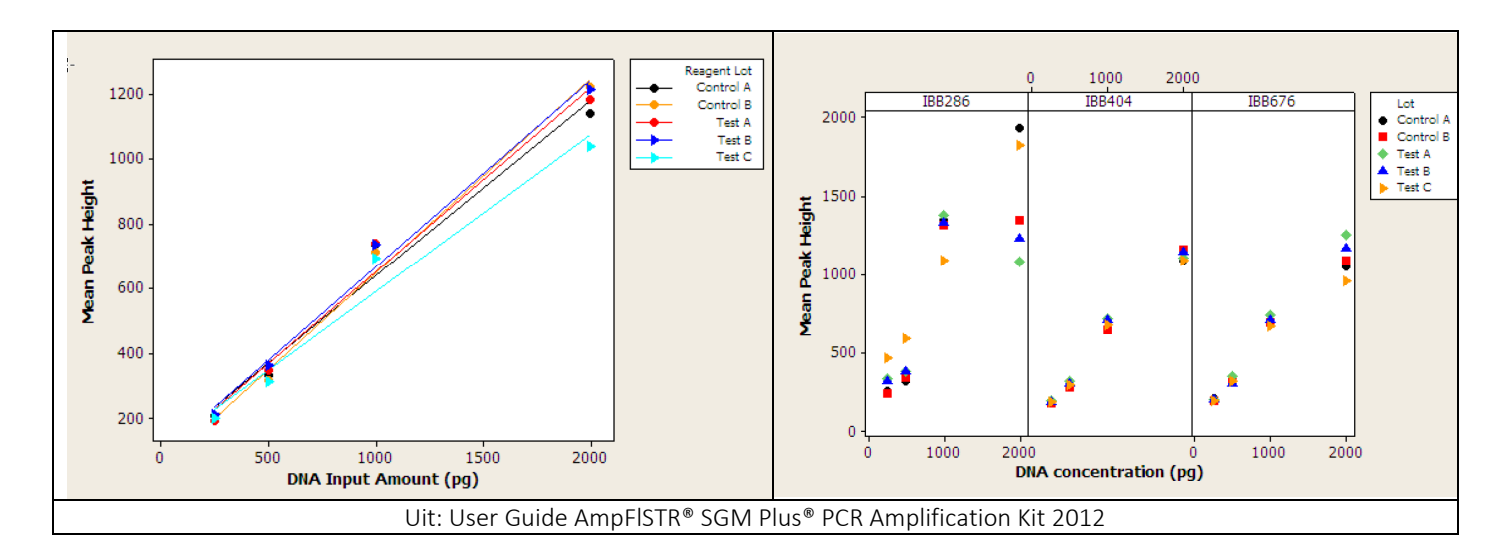


Beperkte afhankelijkheid van injectievolume volgens Butler & McCord 2004 (en eerder) vertoont hetzelfde gedrag voor hoge kwaliteit formamide.

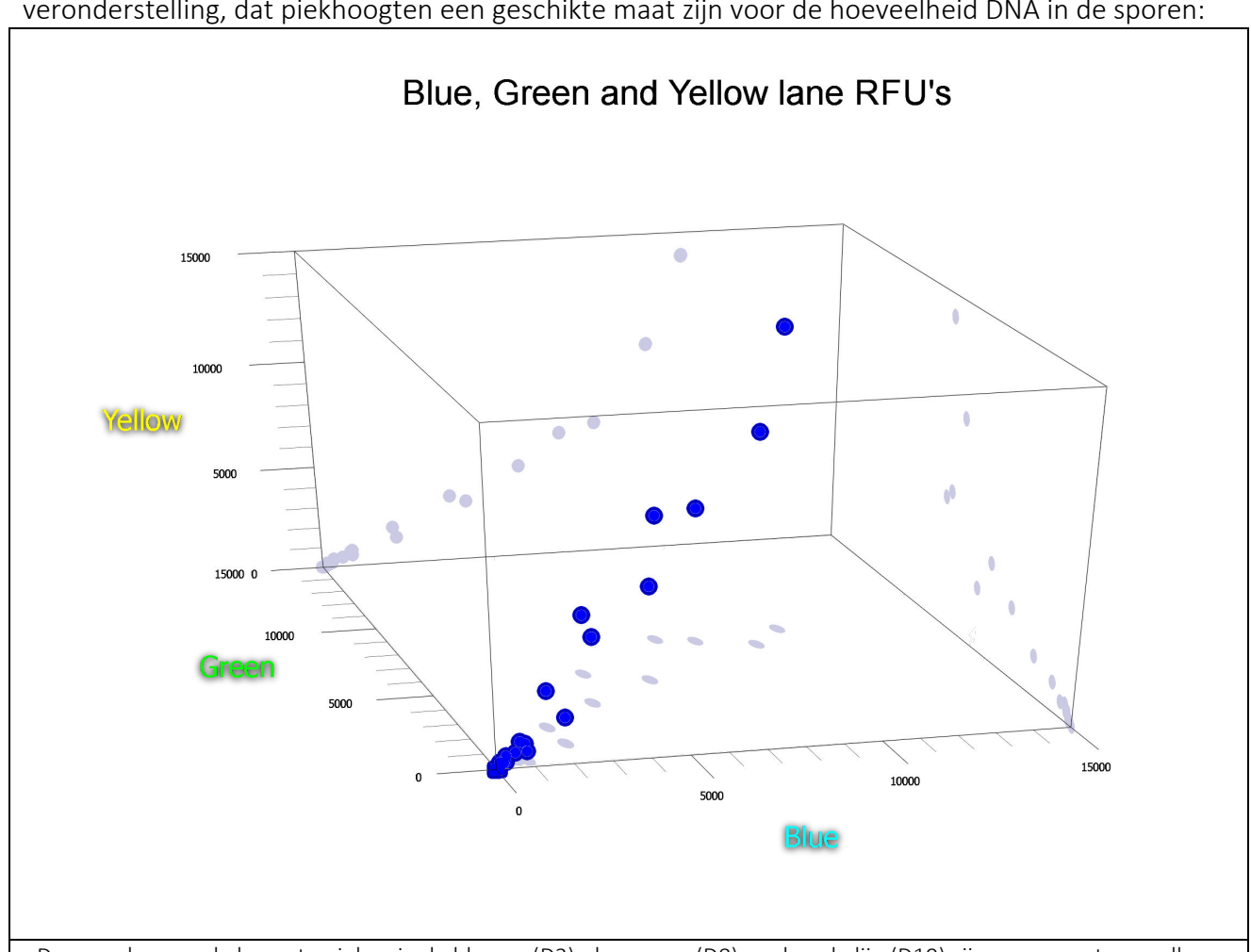
Vergelijken we de grootte van het monster met de gevonden hoeveelheden DNA, dan blijkt, dat de intensiteit van het DNA in spoor#10 niet wezenlijk afwijkt van de sporen #3, #4 en #5. Dit terwijl een fotovergelijk laat zien, dat de bloedvlek in spoor #10 maar 14% van het uitgeknipte spoor inneemt en de kleurintensiteit van de bloedvlek veel lager is dan van de bloedvlekken, waarmee is vergeleken. M.a.w., er bevindt zich in vlek #10 een aanvullende bron van DNA, die onzichtbaar is en véél meer DNA bevat, dan in het wel zichtbare bloedvlekje kan zitten. Speeksel is hiervoor de aangewezen kandidaat.

Berekenen we de DNA-intensiteit in verhouding tot de omvang van het bloedvlekje zelf in spoor#10, dan loopt de DNA-intensiteit helemaal van de schaal af. Deze is dan een orde van grootte hoger dan de DNA-intensiteit in de passieve bloeddruppels op de blouse. En daarvoor geeft de afbeelding van de vlek geen enkele aanleiding. Literatuuronderzoek¹³ geeft onderbouwing aan de veronderstelling, dat RFU-waarden een goede indicator zijn voor DNA-gehaltes:





Ook de gegevens van de NFI-onderzoeken in de Deventer Moordzaak geven steun aan de veronderstelling, dat piekhoogten een geschikte maat zijn voor de hoeveelheid DNA in de sporen:

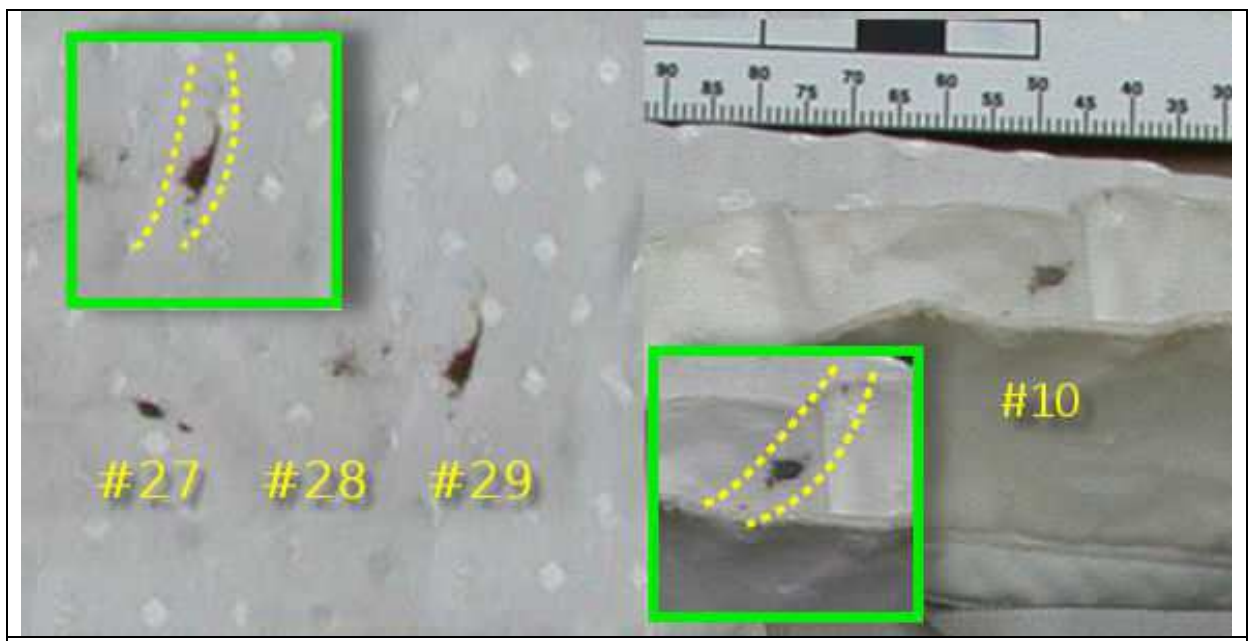


De waarden van de hoogste pieken in de blauwe (D3), de groene (D8) en de gele lijn (D19) zijn per spoor tegen elkaar uitgezet en leveren een hoge correlatie op.

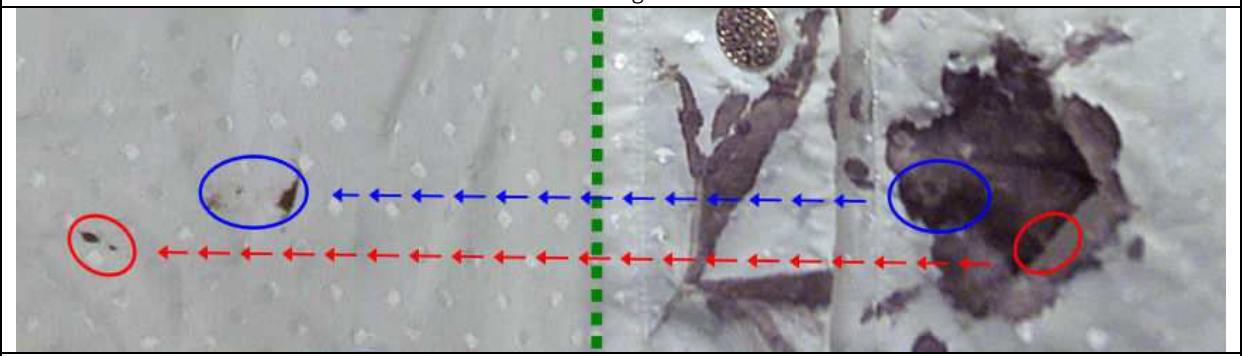
3.2. Het uiterlijk van spoor #10

Het uiterlijk van spoor #10 komt treffend overeen met dat van spoor #29, waarvan kan worden aangetoond, dat het pas is ontstaan nadat het slachtoffer werd gevonden en van de plaats delict werd meegenomen. Voor spoor #29 kan een aannemelijke ontstaansgeschiedenis worden beschreven, die ook voor spoor #10 kan gelden. Binnen die ontstaansgeschiedenis is spoor #29 een secundair bloedspoor van het slachtoffer.

Hiermee zijn de eigenschappen van spoor #10 in overeenstemming met het gestelde in de vorige paragraaf.



Beide sporen bestaan uit een hoofdbijdrage en meerdere kleine nevenbijdragen, die gerangschikt liggen op een boog.



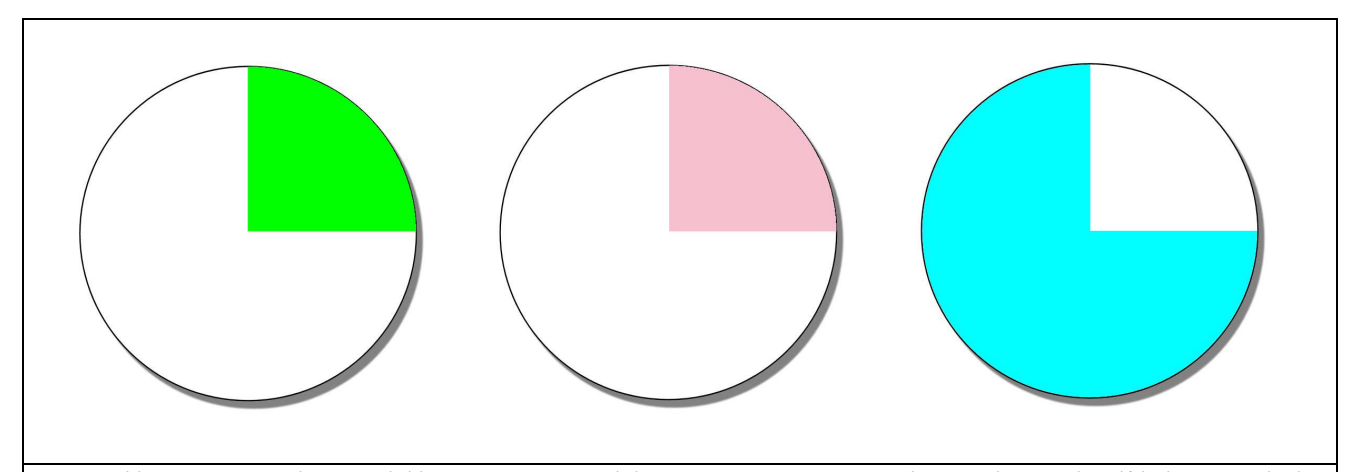
Weergave van de ontstaansgeschiedenis van de sporen #27, #28 en #29, die bewijsbaar gevormd werden tussen 25 en 26 september 1999.



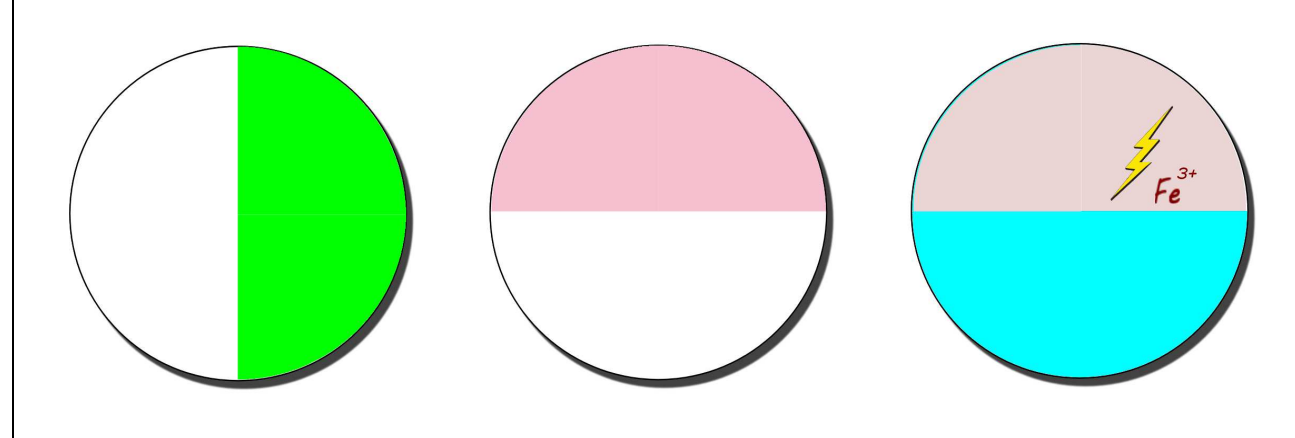
Samenhangende verklaring vorming grote bloedvlekken '7' en '8' tussen en 25 en 26 september 1999 en daaruit voortvloeiende overdrachten.

4. Lichtrode vlekken (V)

Deze zijn als volstrekt unieke entiteit besproken in de NFI-rapportages (met name 22 januari 2004) en afgelegde verklaringen (met name 26 januari 2004 voor het Hof van Den Bosch).



Zo werd het spoor van de roze vlekken gepresenteerd: het DNA van Louwes werd gevonden op dezelfde locaties als de roze vlekken. En daar was geen crimescope signaal, zoals bij speeksel is te verwachten; verdict: het DNA kwam van huidcellen als gevolg van geweldsuitoefening.



De werkelijkheid is ontnuchterend: ook buiten de roze vlekken zit DNA van Louwes. Ook zitten er roze vlekken op de blouse zonder DNA van Louwes. En het ontbreken van een crimescope signaal laat zich verklaren door de biologische, chemische en fysische inwerking van het aangetoonde Fe^{3+.}

In werkelijkheid maken de roze vlekken deel uit van een veel groter complex aan vlekken, dat niet nader is beschouwd:

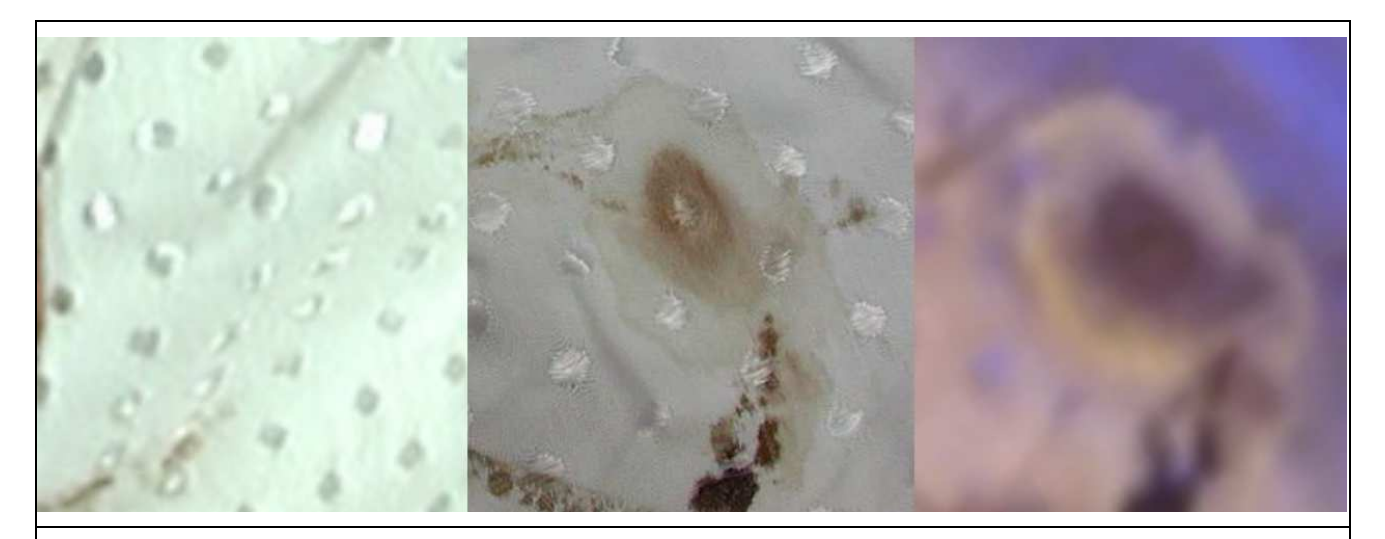


De gele locaties werden in 2003/4 bemonsterd als de roze vlekken. De groene in 2006 als bloedvlekken. De rode locaties werden nooit bemonsterd. De blauwe werden overwogen voor een chemische analyse. Uiteindelijk werd de onderste geanalyseerd. Volgens de AG bij de Hoge Raad te ver van de geweldszones, om relevant te zijn¹⁴.

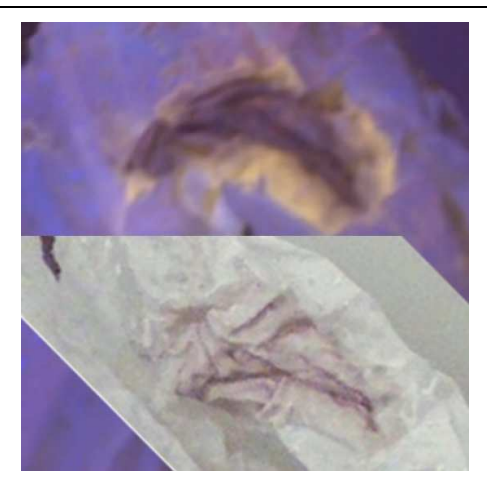
De groene zone bevat niet gekleurde (speeksel-)sporen met DNA van Louwes, de blauwe zone bevat drie controlesporen, die aanwijzingen voor het DNA van Louwes bevatten.

De achterzijde - zie hoofdstuk 3 - vertoont grote bruinachtige vl;ekken.

In de eerder getoonde foto onder blauw licht (hoofdstuk 2), blijken ze gekarakteriseerd te worden door een oplichtend effect naar de randen en een donkere kern. Sommige van die vlekken kunnen goed worden vergeleken onder zichtbaar licht en blauw licht, waardoor de relatie duidelijker wordt:



Links positie van de vlek op 25 september 1999. Rechts deze vlek in 2003 gefotografeerd, in zichtbaar en blauw licht. In zichtbaar licht vertoont de vlek schakeringen van bruinachtig tot roodachtig. In blauw licht lichten de randen sterk op. Dit wijst erop, dat het donkere centrum veel ijzer bevat, dat de fotoluminescentie sterk onderdrukt. Deze vlek werd tijdens het onderzoek in 1999 gevormd, vermoedelijk kort na de vondst van het slachtoffer.

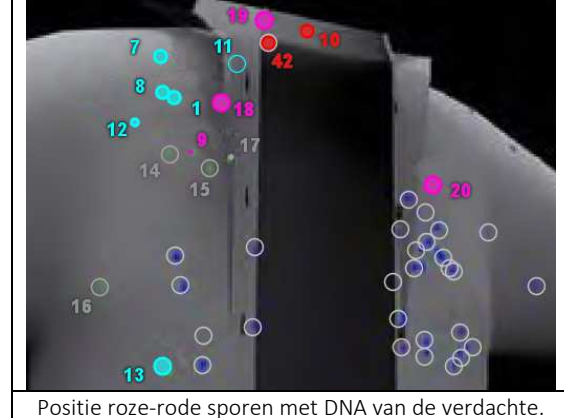


Rozerode vlek aan de linker mouw. Hier dezelfde karakteristieken. De hier getoonde kleur is gelijk aan de kleur van de sporen #9, #18, #19 en #20, voor zover het fotografisch materiaal een vergelijking mogelijk maakt. In 2006 bemonsterde het NFI dit spoor en beschreef het als *bloedvlek*.

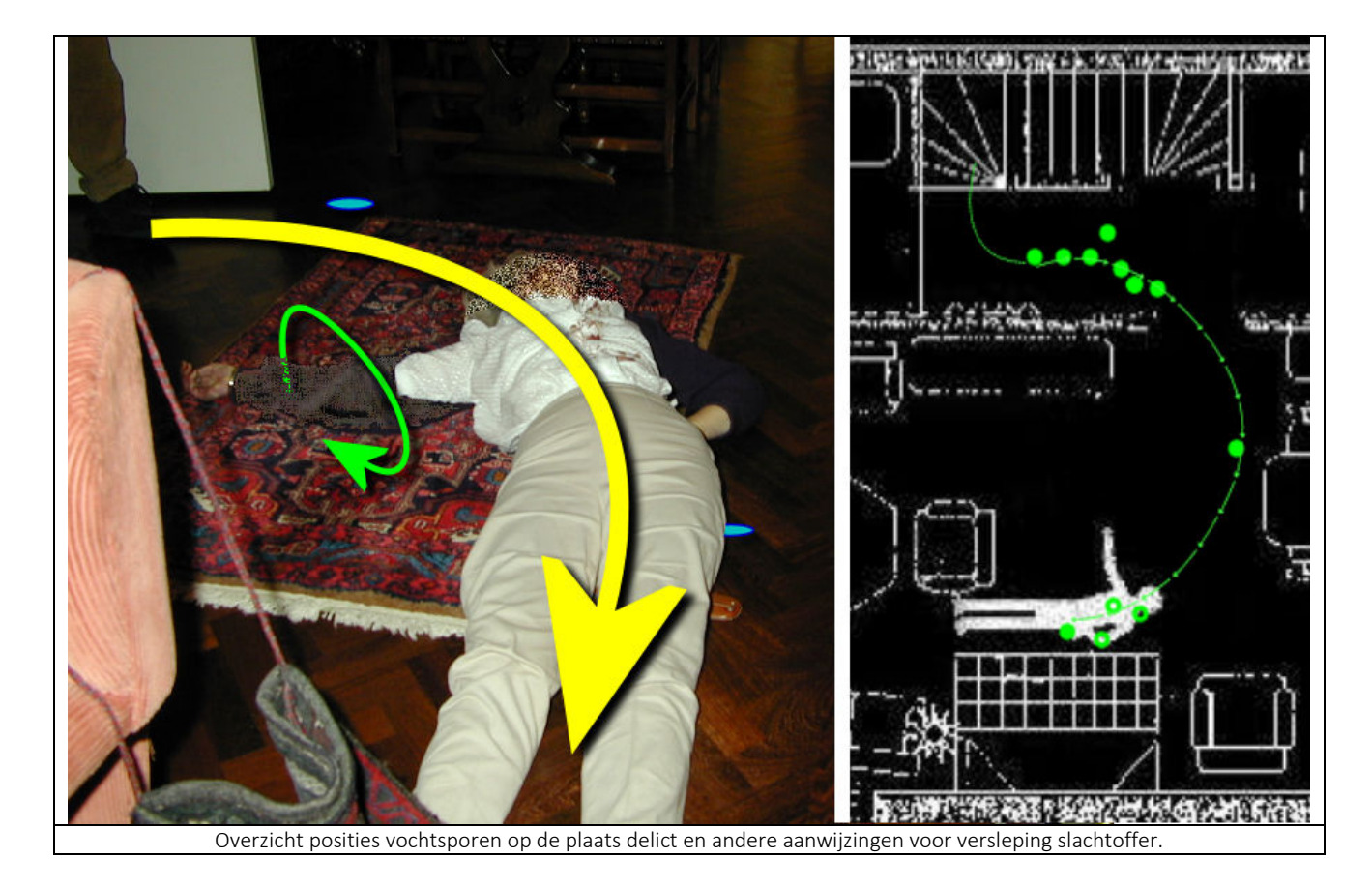


Zone rond middelste knoop met roze rode vlek, die ontstond *na* vondst van het slachtoffer. De oranje depositie licht sterk op. Vlnr: 25 september 's middags en 's avonds, vervolgens 2003 en 2006.

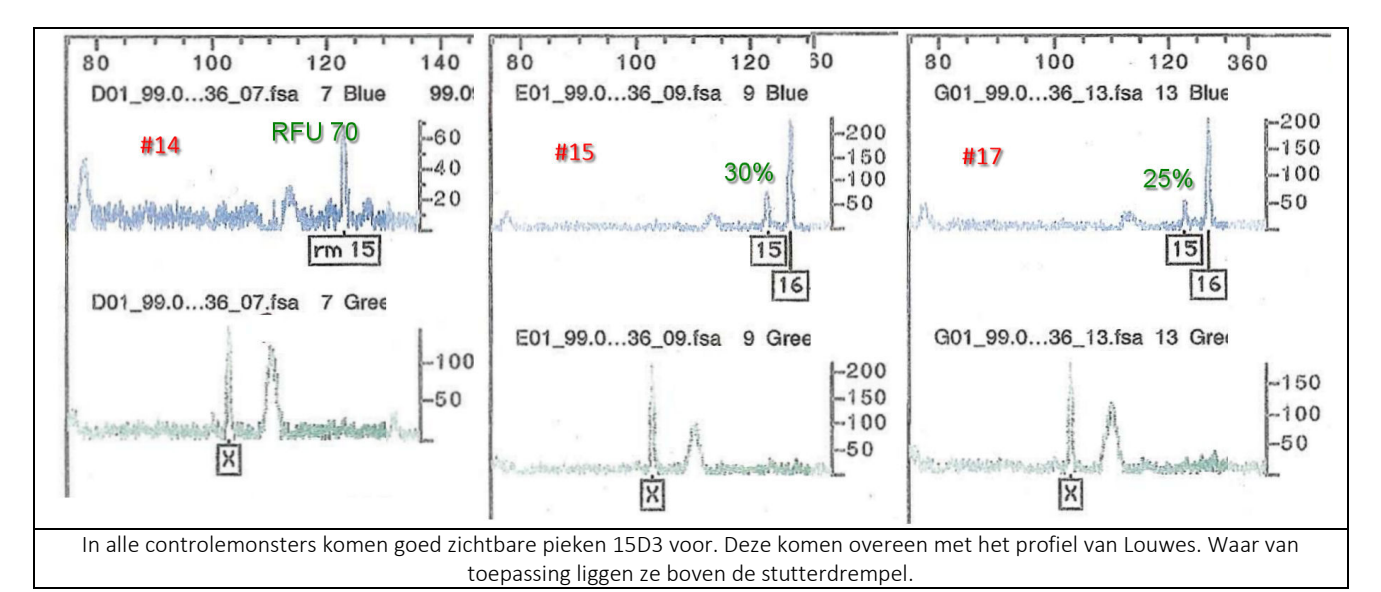
Een voor de hand liggende hypothese, namelijk, dat dit vocht zijn origine vindt in schoonmaakactiviteiten van de dader(s) bleef onbesproken. Dat het vocht vanuit het vest is doorgetrokken naar de blouse wordt op sommige plaatsen heel duidelijk. Op de overzichtsfoto van de blouse onder blauw licht zien wij duidelijke vlekken onderaan de linker mouw (in de groene ovaal), terwijl deze op de plaats delict geheel bedekt werd door het vest. De vlekken weerspiegelen het breisel van de vestmouw. Voorts zijn er op de blouse afdrukken van de boord van het vest. Er zijn vochtsporen gezien in



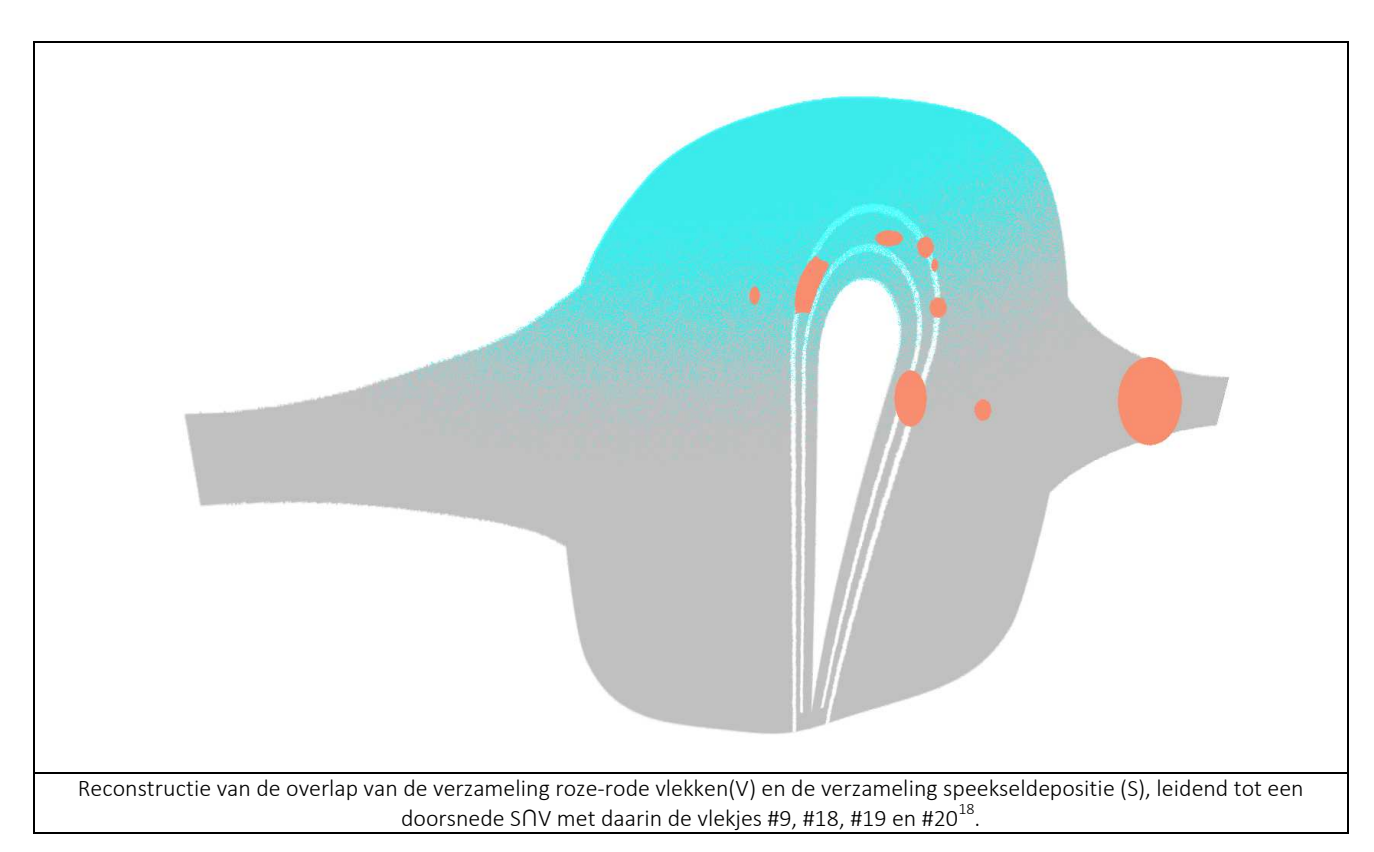
de gang en in de woonkamer, waar het stoffelijk overschot werd aangetroffen. 16



Sommige van de rozerode vlekken bevatten DNA van de verdachte, bemonsteringen in de buurt van die vlekken ook. Een aantal vlekken werd benoemd als vrij van DNA: #14, #15 en #17. Bij nadere beschouwing bevatten ze allemaal pieken op de locatie 15D3 en het Y-chromosoom. ¹⁷ Hieruit zou men net zo goed kunnen concluderen, dat deze sporen precies op de grens van de zone met speekseldepositie liggen. Andere vlekken, bijvoorbeeld buiten de zone met crimescope vlekken, werden nooit onderzocht. Er is dus vanuit beide perspectieven geen 1-op-1 relatie, hoewel dit wel bij meerdere gelegenheden is beweerd. Voor de bewering, dat in de roze-rode vlekken geen oplichtende sporen werden aangetroffen is geen steun te vinden in de getoonde foto onder blauw



licht. De uit deze bewering voortvloeiende conclusie, dat een eventuele speekseldepositie niet gezorgd kan hebben voor de DNA-sporen vindt ook om een andere reden geen steun: de uiteindelijk aangetoonde ijzerionen hebben een onderdrukkend effect op het oplichten van biologische sporen.¹⁵



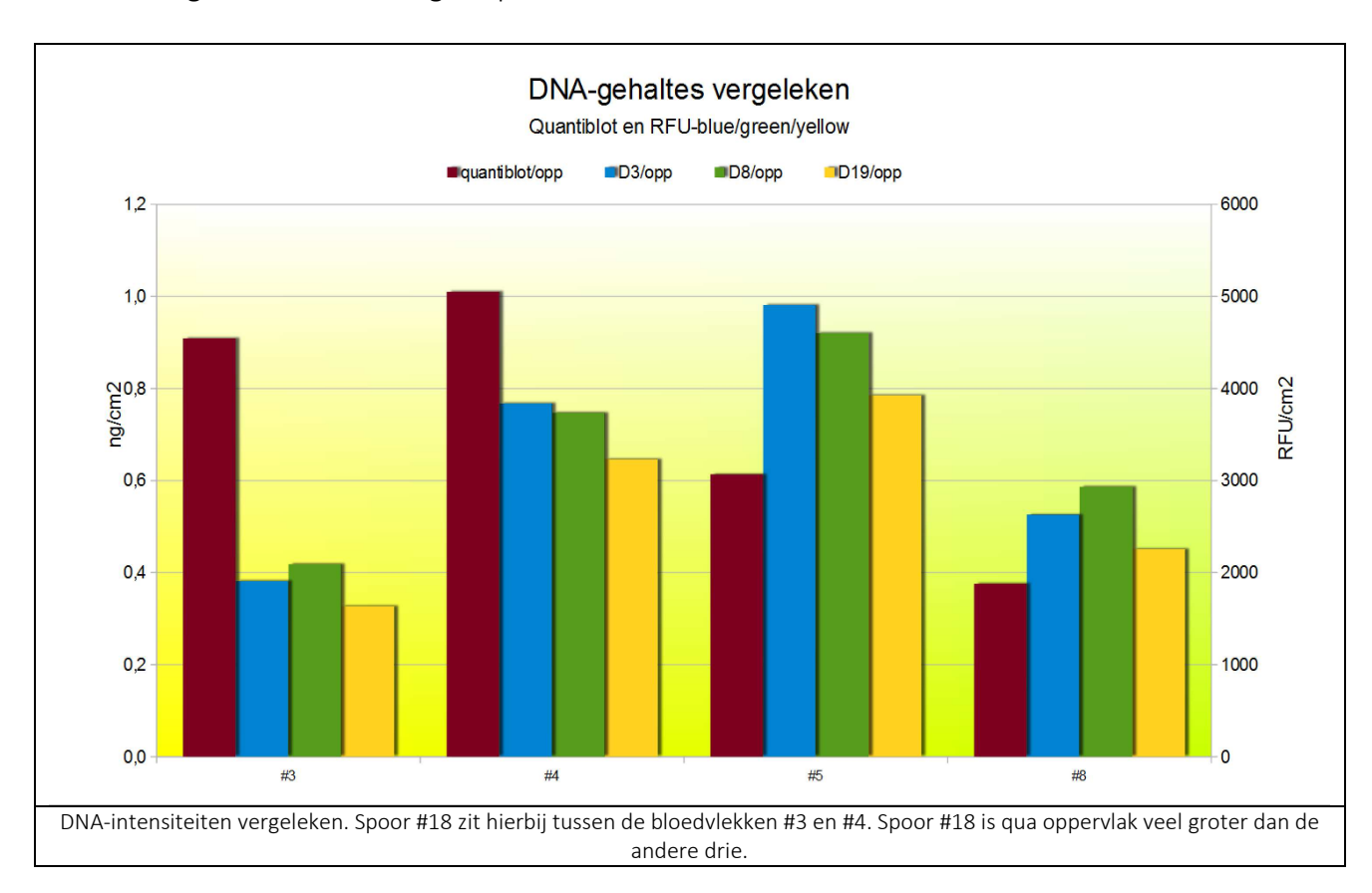
4.1. Spoor #18

Spoor #18 is te midden van de rozerode sporen het sterkste DNA-spoor, vrijwel volledig op het conto van het slachtoffer. Met quantiblot werd voor spoor #9 0,03 ng/ μ L gevonden, voor spoor #18 was dit 1 ng/ μ L, voor spoor #19 <0,03 ng/ μ L en voor spoor #20 weer 0,03 ng/ μ L. Spoor #18 lag qua DNA-gehalte dus in dezelfde orde van grootte als de bloedvlekken (1 ng/ μ L). Op zich is de enorme variatie in DNA-gehaltes al een aanduiding voor de onbruikbaarheid van de geweldstheorie van het NFI. Spoor #18 is een spoor, dat nog het meest lijkt op een spoor, dat is ontstaan, omdat iemand de sierkraag, waarop de vlek aan beide zijden zichtbaar is, heeft vastgepakt tussen de vingers, wellicht,

om de kleding van het slachtoffer enigszins te schikken. Spoor #18 is - als enige van de zgn. rozerode vlekken - zichtbaar op de allereerste foto plaats delict (25 september 1999).



Uit spoor #18 volgt dus, dat het hoge DNA-gehalte voor wat betreft de bijdrage van het slachtoffer niet onmiddellijk volgt uit een geweldsscenario. Om de kwantiteit aan DNA beter te kunnen vergelijken, zijn overeenkomstige piekhoogten vergeleken met die van de bloedsporen #3, #4 en #5 en met de groottes van de uitgeknipte monsters:



Ondanks de vergelijkbare DNA-intensiteit, is spoor #18 veel lichter dan de sporen #3, #4 en #5.



Roze en bruingroen gekleurde vlekken, die lijken te zijn ontstaan als vochtvlekken, mogelijk overgenomen uit vocht in het vest.

Tegelijkertijd maakt het spoor deel uit van een hele familie sporen, die gerelateerd lijken aan vochtplekken. De hypothese, die hier wordt geponeerd luidt, dat deze vlekken afkomstig zijn uit handelingen, gericht op het verwijderen van gespild bloed, waarbij het ijzer uit het bloed zich verbonden heeft met daarvoor geschikte schoonmaakmiddelen. Hier wordt gewezen op de treffende overeenkomst met diverse ijzer(III)-ammoniak-citroenzuur verbindingen (ammoniumijzer(III)citraat). De - triviale - aanwezigheid van ijzer in de roze vlekken werd in 2006 door het NFI aangetoond¹⁹.



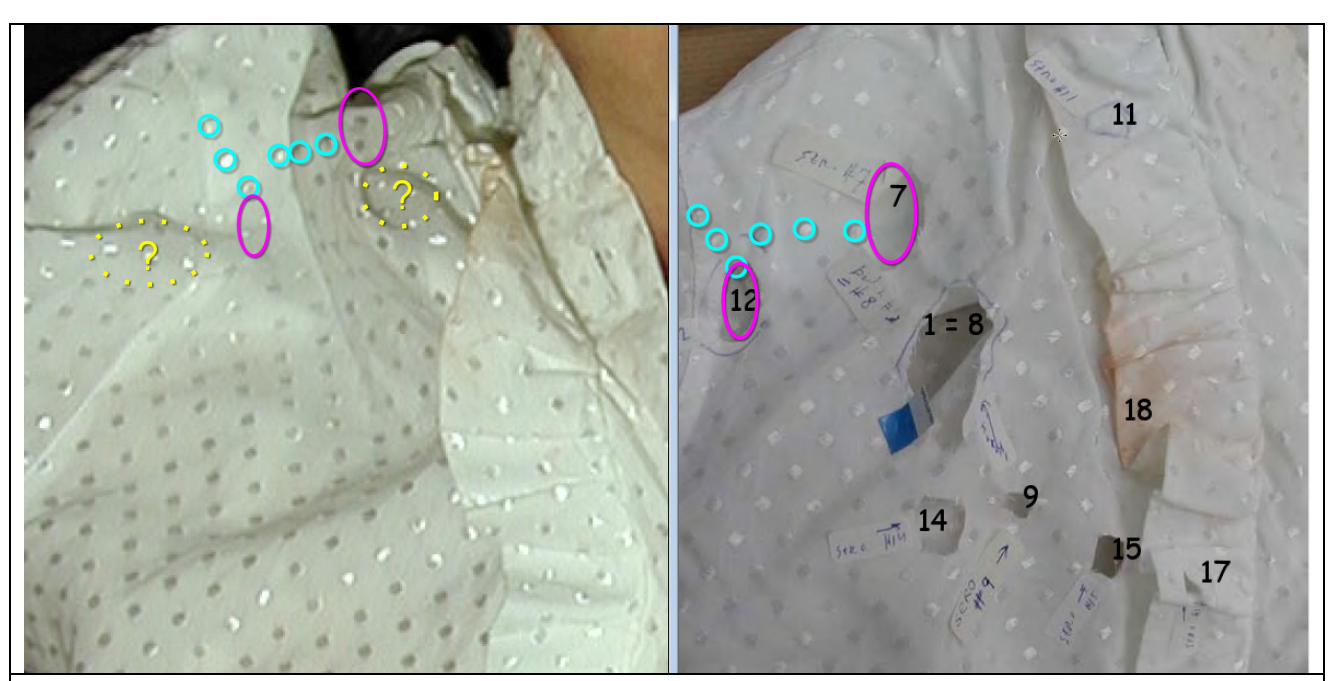
5. DNA sporen nagels

Deze sporen werden bij meerdere gelegenheden onzorgvuldig gepresenteerd. De volgende onzorgvuldigheden zijn relevant:

- Fr is geschreven over nagelvuil, terwijl er nimmer nagelvuil of weefsel van onder de nagels is verzameld. Er waren slechts nagelknipsels.
- Er is gerapporteerd omtrent onderzoek aan de onderzijde en bovenzijde van de nagels, terwijl de nagels van de linker en de rechter hand waren gescheiden in twee containers, zodat de boven- en onderzijden van de nagels ongehinderd met elkaar in contact konden komen.
- Fr is in enig stadium gesproken van autosomale sporen ook van de verdachte, terwijl er uitsluitend autosomale sporen van het slachtoffer zijn gerapporteerd.
- ➤ Er zijn Y-chromosomale sporen van de verdachte op de nagels gevonden, die geheel overeenstemmen met de aanwezigheid van zijn DNA op de schouders van de blouse, leidend bij het aan- en uittrekken van de blouse tot een secundaire transfer.

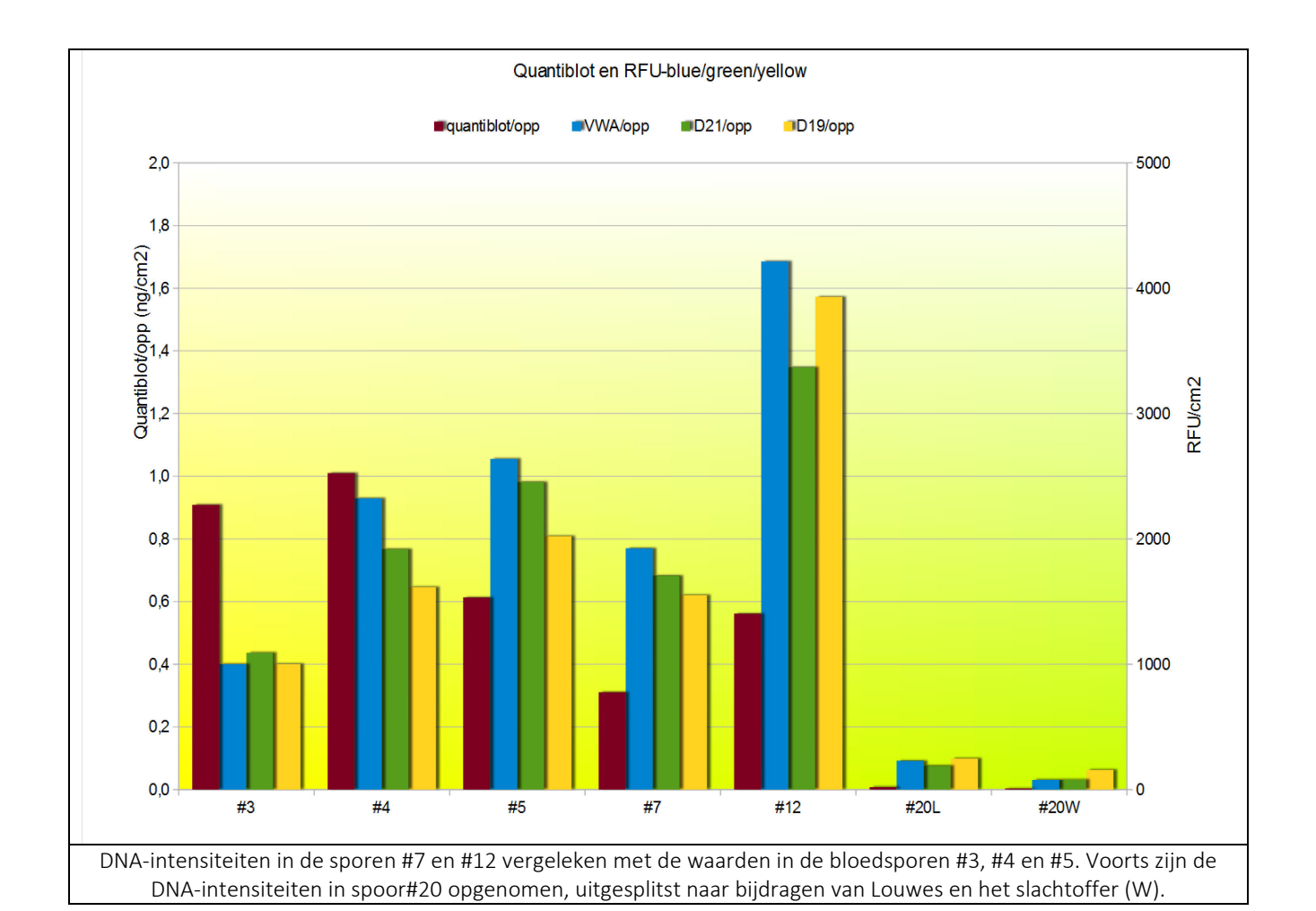
De gewoonte een kledingsstuk in de loop van de dag te wisselen werd in 2003/4 aanhangig gemaakt door de familie ter detrimente van de verdachte, maar blijkt juist de DNA-sporen op de nagels afdoende te verklaren. Daarnaast valt niet uit te sluiten, dat de blouse voor het oogsten van de nagelknipsels nog eens tijdens het onderzoek over de handen werd getrokken. Ook valt niet uit te sluiten, dat niet het slachtoffer zich aankleedde, maar dat de dader dit heeft gedaan. Ook valt niet uit te sluiten, dat niet het slachtoffer zich aankleedde, maar dat de dader dit heeft gedaan.

6. DNA sporen van het slachtoffer



Positie van de sporen #7 en #12 op de blouse van 25 september 1999 en eind december 2003. De ligging van deze sporen suggereert, dat hier sprake is van een veel grotere depositie met DNA van het slachtoffer.

In de sporen #7 en #12 zijn met Y-str onderzoek minieme DNA-sporen van Louwes gevonden, geheel in overeenstemming met de onschuldpresumptie. Maar er is iets merkwaardigs aan de hand. De sporen #7 en #12 zijn zo sterk gevuld met DNA van het slachtoffer, dat de profielen - letterlijk - van de schaal zijn afgelopen. Hierdoor vertonen de profielen een aantal artefacten. De hoogste piekwaarden liggen rond de 10000 RFU-eenheden, dat zijn ongekend hoge waarden.

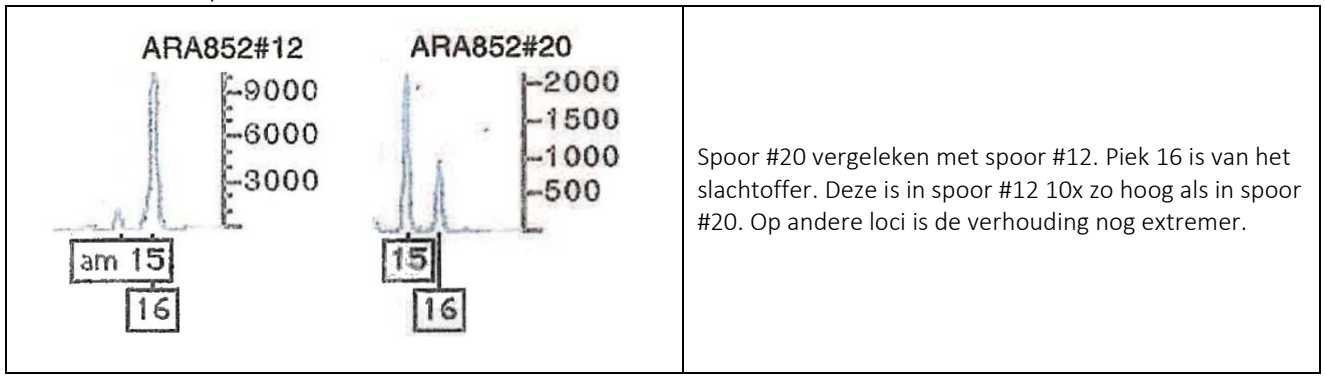


De pieken #7 en #12 kunnen worden vergeleken met de passieve bloeddruppels op de blouse. Vanwege de afwijkende schaalwaarden werd nu een aantal heterozygote pieken uit de bloedvlekken #3, #4 en #5 vergeleken met deze pieken in #7 en #12. Dit leverde tevens het voordeel op, dat van het te bespreken spoor#20 de bijdragen van Louwes en het slachtoffer afzonderlijk konden worden gespecificeerd.

De vergelijking laat zien, dat er erg veel DNA op deze locaties aanwezig is, terwijl met het blote oog geen sporen zichtbaar zijn (wel onder licht van de crime scope). Dit levert een contradictie op, aangezien in het geval van spoor #20 het hoge DNA-gehalte in het profiel van het slachtoffer werd aangemerkt als incriminerend voor Louwes, omdat zijn aandeel in spoor #20 nog hoger lag dan van het slachtoffer. De redenering liep als volgt:

- De hoge DNA depositie van het slachtoffer wijst erop, dat er geweld werd gebruikt
- Louwes aandeel was nog hoger, dus ook wegens gewelddadige actie
- ➤ Spoor #20 wijst op de schuld van Louwes

In #7 en #12 is het DNA-gehalte van het slachtoffer 10 tot 50 x zo hoog als het DNA-gehalte van het slachtoffer in spoor #20.



De vraagt rijst dan automatisch: waarom is het DNA-gehalte van Louwes in spoor #7 en #12 dan zo laag? De vraag stellen is hem beantwoorden: de redenering rond spoor #20 klopt niet. Als de sporen #7 en #12 veroorzaakt zijn door de dader, dan had de dader zich adequaat beschermd tegen DNA-overdracht. En dat #7 en #12 'delictgerelateerd' zijn wordt plausibel, indien we de sectiegegevens op die plek raadplegen. Hier wreekt zich het ontbreken van een deugdelijke sporenanalyse.



Links: Greepspoor op de rechter schouder van het slachtoffer, precies onder de sporen #7 en #12. De betekenis van dit spoor, al of niet in combinatie van de sporen #7 en #12 is nooit aan de orde gesteld, met name niet door het NFI. Rechts: een vergelijkbaar spoor op de rechter onderarm.

7. Slotbeschouwing

Deze notitie is geschreven vanuit de onschuldpresumptie van de verdachte E. Louwes in de Deventer Moordzaak. In een ander rapport heb ik de bewijsvoering van het Hof van Den Bosch d.d. 9 februari 2004 geanalyseerd en ondeugdelijk bevonden.²¹

Overige bewijsmiddelen werden genegeerd, zoals de forensische aanwijzingen, dat de moord ruim een dag later plaatsvond dan werd aangenomen en dat de daders de plaats delict zorgvuldig hadden gearrangeerd.²²

Hierdoor werd onvoldoende duidelijk, dat de verdachte een alibi had en een aantal andere potentiële verdachten juist niet of juist wel.

8. Noten

- Denk bijvoorbeeld aan de verklaringen van de verdachte, die wel tijdens de verhoren afgelegd zijn, maar niet zijn verwerkt in de samenvattende PV's (nawijsbaar middels vervolgonderzoeken). In dergelijke gevallen zijn latere verklaringen van verdachte in openbare media gebruikt.
- 2 Recente publicaties stellen het DNA-gehalte van speeksel veel hoger, dan de waarden, die het NFI lang heeft aangehangen (cf. Kloosterman en Meulenbroek 2008 en Sun & Reichenberger 2014, nader uitgewerkt in 'productie 16 -DNA in Saliva.pdf').
 - Staande literatuur (Finnebraaten 2007) toont aan, dat speekseldeposities tijdens gesprekken van ongeveer vijf minuten veelvuldig leiden tot volledige DNA-profielen.
 - Een bespreking van de moeilijkheden rond de beoogde vaststelling van de hoeveelheid gedeponeerd DNA is dan ook niet erg relevant, zeker gezien Meakin & Jamieson 2013.
- 3 Vermoedelijk stond de verdachte hierbij gebogen over de rechter schouder van het latere slachtoffer.
- 4 Rapporten NFI d.d. 19 mei 2006 en 24 mei 2007. In de aanbevelingen, gedaan in het rapport van 2006 wordt niet gesproken over de mogelijkheid de oplichtende sporen op het rugpand aan een DNA-analyse te onderwerpen.
- M. van der Scheer en A.D. Kloosterman, deskundigen van de afdeling Biologisch Sporenonderzoek, R. Visser, patholog en H. van Venrooij, forensisch arts, van de afdeling Pathologie.
- 6 Afgaande op de rapportage van het NFI d.d. 19 mei 2006.
- 7 Verwezen wordt naar de productie 'Productie Contaminatie Blouse.pdf'.
- 8 Hiertoe zijn foto's van de plaats delict vergeleken met latere foto's van de blouse, genomen op het NFI.
- Dit wordt bevestigd in het NFI-onderzoek d.d. 19 mei 2006, dat rond de 20 (uit 100) vrijwel DNA-vrije bemonsteringen van bloedvlekjes opleverde. En het wordt voorspeld door de eigenschappen van de witte bloedcellen, zie 'productie 15 review over leukocyte removal.pdf'. Voorts: Wiegand et al 2011: "Transfer of biological stains from different surfaces"
- Een bijzonderheid van spoor #10 betreft de mate waarin de bloedvlek door de stof was doorgedrongen tot een andere stoflaag van de blouse, genoemd in het NFI-rapport 19 mei 2006. Deze beweeglijkheid, die ook uit de vele andere overdrachten blijkt, kan worden verklaard door de aanname, dat al het bloed op de blouse pas postmortaal vrijkwam en geen stollingsfactoren meer bevatte. Dit kan gemakkelijk geverifieerd worden.
- Dit is nader uitgewerkt in 'productie 14 nv spoor #10.pdf' en 'Vlek10 onder de loupe.pdf'.
- As [DNA] increases so does ionic strength, making injection almost independent of μL DNA injected (AAFS 2006 Workshop (Butler and McCord)).
- Onderzoek naar de werking van PCR- en CE-apparatuur handelt wel vaak over de nauwkeurigheid van de plaats van de teruggevonden pieken en hun onderlinge relatie, maar zelden over de hoogte van de pieken in samenhang met de hoeveelheid geanalyseerd DNA, gespecificeerd naar locus. Uitzonderingen zijn: Buscemi et al 2003, Brennan et al 2005(?), Collins et al 2004, Foster and Laurin 2012.
- Mr. Machielse als Advocaat-Generaal bij de Hoge Raad in zijn conclusie (20 maart 2007; mijn nadruk): "Vlek D heeft zich niet bevonden in een deel van de blouse waarop gelet op de vermoede toedracht van het misdrijf een onderzoek naar sporen van de dader zinvol kon lijken."
- De invloed van ijzerverbindingen op fotoluminescentie is uitgewerkt in 'productie 06 fotoluminescentieverlies.pdf'.
- Terug te vinden in 'productie 10 sporenonderzoek.pdf'.
- Rond vlek #9 werden controlemonsters #14, #15 en #17 genomen om een 1-op-1 relatie af te dwingen . #14 en #15 bleken 'schoon', maar #17 bleek later toch een Y-str spoor van de verdachte te bevatten. De nabijgelegen sporen #1 , #8 en #12 maakten deze procedure al bij voorbaat twijfelachtig, het DNA van de verdachte was al in deze sporen net buiten de roze-rode vlekken aangetoond.
- T.a.v. de positie van vlek #20 bestaat een groot probleem, dat is besproken in 'productie 13 locatie spoor #20.pdf'.
- 19 Er werd ook titanium aangetoond; een veel gebruikte witmaker voor textiel is titaniumoxide, dus ook dit resultaat was triviaal.
- Hier wreekte het feit zich, dat de tactische recherche na de autopsie meldde, dat de maag van het slachtoffer nog een groot deel voedsel bevatte, terwijl het sectierapport laat zien, dat de maag naar schatting voor 75% was geledigd. Cf. 'Postmortem Interval DMZ-II-aangevuld.pdf'. Aldus zagen ze over het hoofd, dat het delict zich het meest waarschijnlijk rond middennacht voltrok.
- 21 Zie 'DNAinDMZ.pdf'.
- 22 Zie '03 Dwaalsporen.pdf', 'Postmortem Interval DMZ-II-aangevuld.pdf' en 'Doodsoorzaak DMZ.pdf'